

Coréction de CNC 2022

Proposé par : A. OUHANABI

Exercice préliminaire

P.1% La valeur de courant si $U = 6V$
d'après la caractéristique $U = f(I)$

$$U = 6V \Rightarrow I = 6A$$

P.2% La pointe de la droite caractéristique
d'après le caractéristique, la pointe a
été exprimée par : $a = \frac{\Delta U}{\Delta I} = \frac{15 - 0}{0 - 10}$
d'où : $a = -1.5 V/A$

P.3% La valeur de la tension U à vide.
d'après la caractéristique : $I = 0A$
 $\Rightarrow U = 15V$

P.4% Expression de la droite $U = f(I)$
on a, la caractéristique est une droite, donc
l'équation s'écrit comme suit :

$$U = aI + b$$

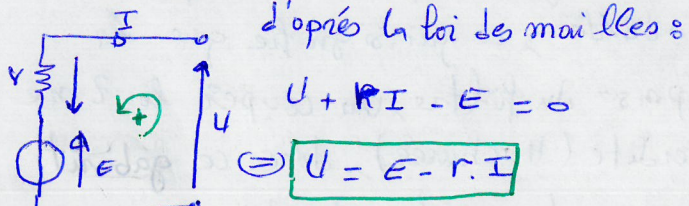
avec : a : la pente de la caractéristique

b : la tension à vide pour $I = 0$

$$\text{donc} : a = -1.5 V/A, b = 15V$$

$$\text{d'où} : U = -1.5I + 15$$

P.5% Expression de U en fonction de E , r et I



P.6% Les valeurs numériques de E et r .

à partir de la question P.5 et P.4 :

$$\text{On a } U = E - rI = 15 - 1.5I$$

Par identification :

$$\begin{cases} E = 15V \\ r = 1.5 \Omega \end{cases}$$

P.7% Les valeurs de U , I :

+ La valeur de tension

d'après le diviseur de tension :

$$U = E \frac{R}{R+r} \Rightarrow U = 12V$$

+ La valeur de courant I .

d'après la loi d'ohm : $U = R \cdot I$

$$\text{donc} : I = \frac{U}{R} \Rightarrow I = 2A$$

P.8% La puissance consommée par R

La puissance consommée par R est exprimée

$$\text{par} : P = U \cdot I = \frac{U^2}{R} = RI^2$$

$$\text{donc} : P = 24W$$

P.9% Énergie totale E_T

la batterie : Ni-MH - 15V - 4Ah
 tension à vide \rightarrow tension à vide \rightarrow capacité C

$$\text{on a, } E_T [Wh] = U [V] \cdot I [A] \cdot t [h] \quad \rightarrow C$$

$$\text{donc} : E_T = U \cdot C$$

$$E_T = 60 Wh \quad \Rightarrow E_T = 15 \times 4$$

P.10% L'autonomie t

$$\text{On } E_T = P \cdot t \Rightarrow t = \frac{E_T}{P} = \frac{60}{24} = 2.5h$$

$$\text{d'où} : t = 2.5h$$

Partie A - Mesure de la F_2 en O_2 et autonomie

A.1 - Étude de mesure de copteur O_2 d'après le document constructeur :

- Pour la série K-12 $\Rightarrow O_2 \text{min} = 0\%$

$$O_2 \text{max} = 100\%$$

d'où : $E.M = O_2 \text{max} - O_2 \text{min}$

$$E.M = 100\%$$

+ La plage de la tension fournie V_E

$$\text{Pour } O_2 = 0\% \Rightarrow V_E = 0V$$

$$\text{Pour } O_2 = 100\% \Rightarrow V_E = 140mV$$

d'où : $0 < \Delta V_E < 140mV$

A.2 - Régime de fonctionnement de l'AOP

L'amplificateur AOP présente un réaction négative ($V_s \rightarrow \text{borne}^+$), donc, il fonctionne en régime linéaire

A.3 - Expression de $V_s = f(V_E, R_1, R_2)$

On a : AOP par fait $i^+ = i^- = 0$

* AOP fonctionne en régime linéaire

$$\Rightarrow V^+ = V^- \Rightarrow E = 0$$

on calcule V^- en appliquant le diviseur de tension :

$$V^- = V_s \cdot \frac{R_1}{R_1 + R_2}$$

or $V^+ = V^- \Rightarrow V^+ = V_E$

d'où :

$$\Leftrightarrow V_s = \frac{R_1}{R_1 + R_2} V_E \Rightarrow V_s = \left(1 + \frac{R_2}{R_1}\right) V_E$$

A.4 / La relation entre R_1 et R_2

$$\text{On a } V_s = \left(1 + \frac{R_2}{R_1}\right) V_E$$

$$\Leftrightarrow \frac{R_2}{R_1} = \frac{V_s}{V_E} - 1 \Rightarrow R_2 = \left(\frac{V_s}{V_E} - 1\right) R_1$$

lorsque : $F_2 = 100\% \Rightarrow V_s = 5V$

$$\Rightarrow V_E = 140mV$$

d'où : $R_2 = 34.71 \cdot R_1$

A.5 - Type de filtre

d'après la figure 7.9, ce filtre est un filtre passe bas

- La fréquence de coupure f_c

$$\text{à } \frac{G_{\text{max}} - 3\text{dB}}{10\text{dB}} \Rightarrow f = f_c = 100 \text{ Hz}$$

A.6 - La pente du filtre

$$\text{On a } \omega_c = 2\pi f = 200\pi \text{ Hz}$$

d'où : pour $\omega = 10\omega_c \rightarrow G = -20 \text{ dB}$
 $= 2000\pi \text{ Hz}$
 ou $\omega = 10f_c \rightarrow G = -20 \text{ dB}$
 décades

Pour $f = 10f_c \rightarrow G = -20 \text{ dB}$
 décades

d'où la pente du filtre : -20 dB/dec

Alors, il s'agit bien d'un filtre passe bas 1^{er} ordre

A.7 / Le gabarit présente une pente de -40 dB/dec , ce qui signifie que la réponse du filtre va couper la 2^{me} interdite (Hochuee), donc ce filtre ne respecte pas le gabarit.

A.8 - Expression du volume d'air inspiré

le volume d'air inspiré en une minute peut être calculé en multipliant le volume inspiré par cycle respiratoire (V_i) par la fréquence respiratoire Fr ce qui donne : $V_m = V_i \times Fr$

Pour calculer V_i , nous devons d'abord trouver le volume inspiré pendant la phase d'inspiration $V_{i\text{ins}}$

$$\Rightarrow V_{i\text{ins}} = Q_i \cdot T_{in}$$

⚠ Pendant la phase d'expansion, aucun volume d'air n'est inspiré, donc : $V_{i\text{exp}} = 0$

alors, le volume total inspiré par cycle respiratoire (V_i) est la somme des volumes pendant les phases d'inspiration et d'expansion

$$V_i = V_{i\text{ins}} + V_{i\text{exp}} = Q_i \cdot T_{in}$$

Ensuite, en remplaçant V_i dans V_m :

$$V_m = Q_i \cdot T_{in} \times Fr$$

$$V_m = [L/s] \cdot [s] \cdot [\text{cycle/min}] = [L/\text{min}]$$

$$V_m = 0,25 \cdot 2 \cdot 12 \Rightarrow V_m = 6 \text{ L/min}$$

A.9% l'autonomie théorique en O_2

$$\text{On a } V_{O_2} = \frac{F_i O_2 - 0,21}{0,79} \cdot V_m$$

Nous devons calculer V_{O_2} avec

$$F_i O_2 = 50\% \text{ et } V_m = 6 \text{ L/min}$$

Dmc :

$$V_{O_2} = \frac{0,50 - 0,21}{0,79} \times 6$$

$$V_{O_2} = 2.202 \text{ L/min}$$

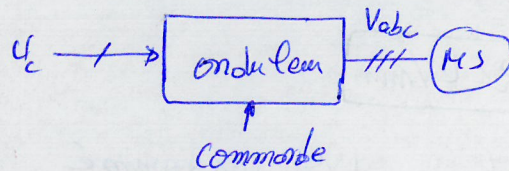
Donc, le volume d' O_2 consommé par minute est d'environ 2.202 L/min maintenant, on va calculer l'autonomie théorique en O_2 :

$$\text{Autonomie théorique} = \frac{\text{Volume de la bouteille}}{\text{Volume consommé par min}}$$

$$A.t = \frac{2 \times 200 \text{ L}}{2.202 \text{ L/min}}$$

$$A.t = 181.61 \text{ min} = 3 \text{ h} 00 \text{ min } 2 \text{ sec}$$

Partie B - Etude de l' alimentation de la turbine



B1% La commande des interrupteurs

On deux cas : si on prend K_1 et K_2

- si ils sont fermés au même temps provoque un court-circuit de source d'entrée (source de tension)

- si ils sont ouverts au même temps provoque l'ouverture de la source sortie (source de courant - phasé de MTS)

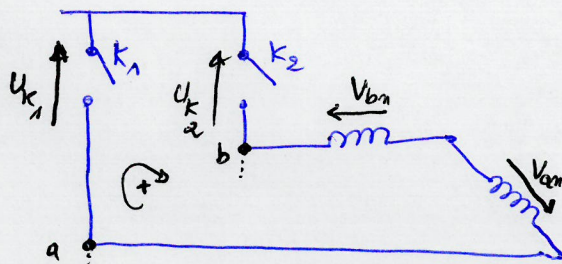
et d'après les règles d'association des sources. une source de tension ne doit pas être fermé et qu'une source de courant ne doit pas être jamais ouverte

Pour éviter cela, les interrupteurs dans un même bras sont commandés de manière complémentaire.

$$K_4 = \bar{K}_1, K_5 = \bar{K}_2 \text{ et } K_6 = \bar{K}_3$$

B.2 - Le relation entre U_{an} , U_{bn} , U_{kn} et U_{k2}

On prend la maille suivante :



d'après la loi des mailles, on a :

$$U_{k1} - U_{k2} - U_{bn} + U_{an} = 0$$

$$\Leftrightarrow U_{an} - U_{bn} = U_{k2} - U_{k1}$$

B.3 / La relation entre U_{an} , U_{cn} , U_{k1} et U_{k3}

on va tirer cette relation par analogie avec la question précédente

$$\text{on a } U_{an} - U_{bn} = U_{k2} - U_{k1}$$

on a dans le schéma :

$$+ U_{an} relié à le phase 1$$

$$+ U_{bn} \text{ et } + U_{cn} \text{ et } + U_{cm}$$

d'où par analogie :

$$U_{an} - U_{cn} = U_{k3} - U_{k1}$$

B.4% Expression de U_{an} , U_{bn} et U_{cn}

on a :

$$U_{an} + U_{bn} + U_{cn} = 0$$

$$\Leftrightarrow U_{an} = -U_{bn} - U_{cn}$$

$$\Leftrightarrow 2U_{an} + U_{an} = 2U_{an} - U_{bn} - U_{cn}$$

$$\Leftrightarrow 3U_{an} = (U_{an} - U_{bn}) + (U_{an} - U_{cn})$$

comme : $\begin{cases} U_{an} - U_{bn} = U_{k2} - U_{k1} \\ U_{an} - U_{cn} = U_{k3} - U_{k1} \end{cases}$

$$\Rightarrow 3U_{an} = -2U_{k1} + U_{k2} + U_{k3}$$

d'où :

$$U_{an} = -\frac{2}{3}U_{k1} + \frac{1}{3}U_{k2} + \frac{1}{3}U_{k3}$$

par analogie :

$$\begin{cases} U_{bn} = \frac{1}{3}U_{k1} - \frac{2}{3}U_{k2} + \frac{1}{3}U_{k3} \\ U_{cn} = \frac{1}{3}U_{k1} + \frac{1}{3}U_{k2} - \frac{2}{3}U_{k3} \end{cases}$$

$$U_{cn} = \frac{1}{3}U_{k1} + \frac{1}{3}U_{k2} - \frac{2}{3}U_{k3}$$

B.5 / les chronogrammes

Voir le document répère N°1

B.6 / les séquences des interrupteurs de la commande disjoints (120°)

Voir le document de repère N°2

B.7 / Expression de v_m

au moment de passage par zéro

$$\Rightarrow e_a + e_b + e_c = 0 \text{ et que } i_c = 0$$

avec :

$$L_p \frac{di_b}{dt} = -i_q$$

$$e_a = v_a - R_i a - L \frac{di_a}{dt} - v_m$$

$$e_b = v_b - R_i b - L \frac{di_b}{dt} - v_m$$

$$L \frac{di_b}{dt} = -i_q \Rightarrow e_b = v_b + R_i q + L \frac{di_a}{dt} - v_m$$

$$e_c = v_c - v_m$$

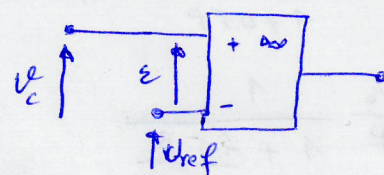
donc :

$$e_a + e_b + e_c = v_a + v_b + v_c - 3v_m = 0$$

$$\text{d'où : } v_m = \frac{v_a + v_b + v_c}{3}$$

B.8 / Expression de la tension U_{ref}

La détection de passage par zéro se fait à l'aide d'un comparateur.



$$\epsilon = v_c - U_{ref}$$

donc, au moment de passage par zéro la sortie change de l'état :

Pour détecter le passage, on doit trouver le seuil de basculement de l'AOP

$$\text{lorsque : } U_{ref} = v_c$$

d'après le graphique de l'annexe 2

au passage par zéro de e_c :

$$e_c = 0, e_b = -E_{max}, e_a = E_{max}$$

$$\text{d'où : } U_{ref} = \frac{e_c + v_m}{2} = \frac{0 + v_m}{2} = v_m$$

$$\Rightarrow U_{ref} = v_m$$

$$\boxed{v_c = v_m}$$

$$\Rightarrow v_m = \frac{v_a + v_b + v_c}{3}$$

$$\Rightarrow 3v_m = v_a + v_b + v_c$$

$$\Rightarrow 2v_m = v_a + v_b$$

$$\Rightarrow v_m = \frac{v_a + v_b}{2}$$

$$\Rightarrow \text{d'où : } U_{ref} = \frac{v_a + v_b}{2}$$

* En fonction de v_c

d'après la figure 10 $\Rightarrow v_c = v_a - v_b$
et on remarque le potentiel b relié à la masse $\Rightarrow v_b = 0$

$$\text{d'où : } \boxed{U_c = v_a}$$

$$\text{d'où : } U_{ref} = \frac{v_a + v_b}{2} \stackrel{1^\circ}{=} \Rightarrow U_{ref} = \frac{U_c}{2}$$

B.9 / calcul l'instant de commutation

on note t_p l'instant de passage par zéro et t_c l'instant de la commutation suivante

on a : $\theta_f = 30^\circ$ et le déphasage entre instant de passage par zéro et l'instant de commutation (Voir DR 2)

$$\text{L'en temps : } T_f = \frac{30}{360} \times T$$

Si on connaît l'instant de pompage pour $t = t_p$, donc l'instant de commutation suivante t_c :

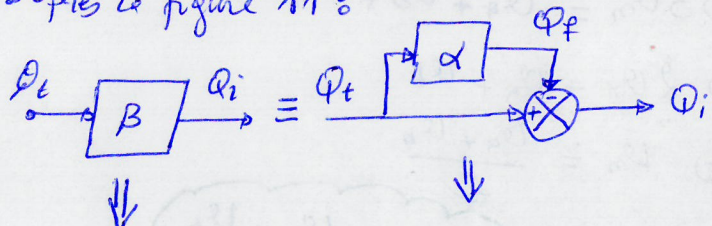
$$t_c = t_p + \frac{30}{360} \times T$$

avec : $T = \frac{1}{f}$ et f : la fréquence des tensions V_{abc}

Partie C : Asservissement du débit d'eau insufflé

C.1% Expression de B

d'après la figure 11 :



$$\text{On a : } B = \frac{Q_i(p)}{Q_t(p)} \Rightarrow Q_i(p) = Q_t(p) - Q_f(p)$$

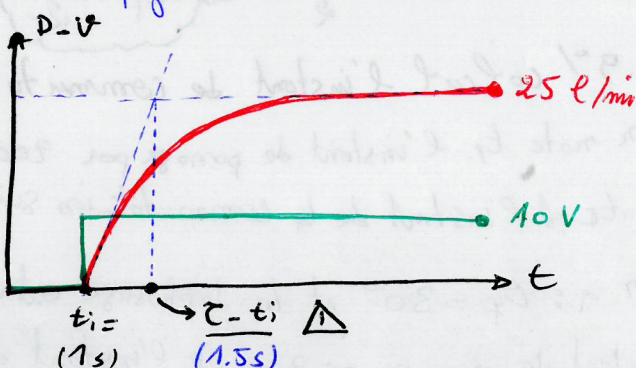
$$\Leftrightarrow Q_i(p) = Q_t(p) - \alpha \cdot Q_t(p)$$

$$\Leftrightarrow Q_i(p) = (1 - \alpha) Q_t(p)$$

d'où : $\beta = \frac{Q_i(p)}{Q_t(p)} = 1 - \alpha$

C.2% les valeurs de K et τ .

d'après la figure 12 :



La réponse de ce système est de 1^{er} ordre

$$H(p) = \frac{K}{1 + \tau p}$$

• K : le gain statique, s'exprime par :

$$K = \frac{Q_t \infty}{V \infty} \Rightarrow K = \frac{25}{10}$$

d'où : $K = 2.5 \text{ l/min. V}^{-1}$

• τ : la constante de temps

$$\tau = Q_t = 0.63 Q_{tf} = 15.75$$

↳ le volume final

$$t = \tau - t_i = 1.5 \text{ avec } t_i = 1$$

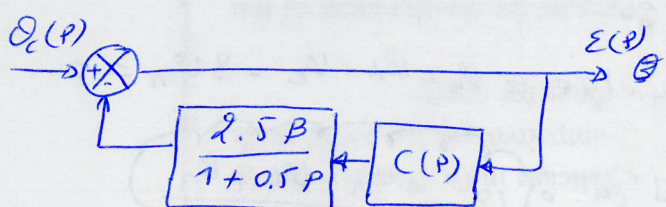
d'où : $\tau = 1.5 - t_i \Rightarrow \tau = 0.5 \text{ s}$

donc : $H(p) = \frac{2.5}{1 + 0.5p}$

C.3% correcteur proportionnel

C.3.1 - Enjeu statique es

Par déf : $\varepsilon_s = \lim_{P \rightarrow 0} P \cdot E(p) \mid Q_c(p) = \frac{Q_0}{p}$



d'où : $E(p) = \frac{1 \cdot Q_c(p)}{C(p) \cdot \frac{2.5 B}{1 + 0.5p} + 1}$ avec $C(p) = k_p$

$$\Rightarrow E(p) = Q_c(p) \frac{1}{1 + \frac{2.5 B}{1 + 0.5p}}$$

Par : $\varepsilon_s = \lim_{P \rightarrow 0} P \cdot \frac{Q_0}{P} \frac{1}{1 + \frac{2.5 B}{1 + 0.5p}}$

donc : $\varepsilon_s = \frac{Q_0}{1 + 2.5 B}$

C.3.2% le cahier de charges impose que l'enjeu statique soit nul, donc ce correcteur n'est pas valide

c.4% la fonction de transfert complexe x l'effet de B :

en B.O

d'après le schéma bloc:

$$H_{BO}(P) = C(P) \cdot \frac{2.5 \cdot B}{1 + 0.5 P}$$

$$= K_p \frac{1 + T_i P}{T_i P} \frac{2.5 B}{1 + 0.5 P}$$

comme : $K_p = 5$ et $T_i = 0.5$

$$\Rightarrow H_{BO}(P) = 5 \frac{1 + 0.5 P}{0.5 P} \frac{2.5 B}{1 + 0.5 P}$$

$$\Leftrightarrow H_{BO}(P) = \frac{12.5 B}{0.5 P} \Rightarrow H_{BO}(P) = \frac{25 B}{P}$$

pour passer la fonction de transfert

complexe : $P = j\omega$

d'où : $H_{BO}(j\omega) = \frac{25 B}{j\omega}$

c.5% Diagramme de Bode : $B = 80\%$

on va mettre $H_{BO}(j\omega)$ présente

sous la forme canonique :

$$\Rightarrow H_{BO}(j\omega) = \frac{25 B}{j\omega} = \frac{1}{j \frac{\omega}{25 B}} =$$

$$\Leftrightarrow H_{BO}(j\omega) = \frac{1}{j \frac{\omega}{w_c}} \quad \text{avec } w_c = 25 B \quad \Leftrightarrow w_c = 20 \text{ rad/s}$$

Voir de document réponse.

→ 1ère ordre le pointe -20dB/dec
→ la phase : $\varphi = -90^\circ$
 $\Rightarrow -20 \text{ dB/dec} \Rightarrow \text{pour } \omega = 10 w_c$

pour $\omega = 10 w_c \rightarrow G = -20 \text{ dB}$

à partir du diagramme de Bode :

on remarque :

- plus B augmente, plus le bode passe au si augmente

- plus le bode passe au si augmente, plus la rapidité aussi augmente

d'où :

• B agit sur la rapidité du système

c.6% la validité de ce filier de charge

* stabilité : on le marge de phase

d'après le diagramme de Bode $MP = 90^\circ$

donc $(MP > 45^\circ) \Rightarrow$ valide

* précision : on H_{BO} possède une intégration ($\frac{1}{P}$) \Rightarrow l'erreur statique est nulle ($E_s = 0$) \Rightarrow valide

* Rapidité : on pour $\alpha \leq 20\%$

soit $B \geq 80\% \Rightarrow w_c = 25 B \geq 10 \text{ rad/s}$

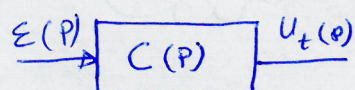
$\Rightarrow w_c \geq 10 \text{ rad/s} \Rightarrow$ valide

C/I : le connecteur P.I satisfait

Bien le filier de charge.

c.7% Eq. diff de connecteur PI

$$\text{On a : } C(P) = K_p \left(1 + \frac{1}{T_i P} \right) = \frac{U_t(P)}{E(P)}$$



$$\Leftrightarrow \frac{U_t(p)}{\varepsilon(p)} = K_p \frac{1 + T_i p}{T_i p}$$

$$\Leftrightarrow U_t(p) \cdot T_i p = K_p (1 + T_i p) \varepsilon(p)$$

$$\Leftrightarrow P \cdot U_t(p) = \frac{K_p}{T_i} \cdot \varepsilon(p) + K_p \cdot P \cdot \varepsilon(p)$$

Rappel : $\frac{dx(t)}{dt} \xrightarrow{L.T} P \cdot x(p)$

$$\Leftrightarrow \frac{dU_t(t)}{dt} = \frac{K_p}{T_i} \varepsilon(t) + K_p \cdot \frac{d\varepsilon(t)}{dt}$$

$$\Leftrightarrow \frac{dU_t(t)}{dt} = A \varepsilon(t) + B \cdot \frac{d\varepsilon(t)}{dt}$$

d'où : $A = \frac{K_p}{T_i}$ et $B = K_p$

C.8% / Equation de récurrence.

d'après l'approximation seules :

$$\frac{dU_t(t)}{dt} = A \cdot \varepsilon(t) + B \cdot \frac{d\varepsilon(t)}{dt}$$

$$\Leftrightarrow \frac{U_t(k) - U_t(k-1)}{T_e} = A \cdot \varepsilon(k) + B \frac{\varepsilon(k) - \varepsilon(k-1)}{T_e}$$

$$\Rightarrow U_t(k) = U_t(k-1) + A \cdot T_e \varepsilon(k) + B \frac{\varepsilon(k) - \varepsilon(k-1)}{T_e}$$

$$\Rightarrow U_t(k) = U_t(k-1) + (A T_e + B) \varepsilon(k) - B \cdot \varepsilon(k-1)$$

$$\Rightarrow U_t(k) = U_t(k-1) + C \cdot \varepsilon(k) + B \cdot \varepsilon(k-1)$$

d'où :

$$* C = A \cdot T_e + B \Rightarrow C = 5.1$$

$$* D = B \Rightarrow D = 5$$

Partie D : Gestion centralisée des alarmes

D1% Equipment réseau utilisés pour relier les équipements réseau de la figure 13, on peut utiliser :

- Hub : Concentrateur.
- Switch : Commutateur.

D2% La topologie du réseau.

On remarque tous les équipements sont reliés à un seul noeud :

donc, il s'agit d'une topologie en étoile

D.3% Les équipements réseau utilisent fréquemment des connecteurs RJ45 pour établir les connexions et échanger des informations avec d'autre équipement réseau.

D.4% La donnée transmise.

a partir du trame :

12 → 12 → -12 → +12 → -12 → +12 → +12 → -12 → -12 → -12 → -12

1	0	1	0	1	0	0	1	1	1	stop
---	---	---	---	---	---	---	---	---	---	------

MSB 1 donnée MSB

donc la donnée transmise :

$D = 1001010$

D5% Vérification de la transmission

- Pour le point 8 Nbre des "1" pairs \Rightarrow bit de parité sera à "0" sinon "1"

la donnée reçue, contient 3 "1" donc $B_P = 1$, on remarque que $B_P = 1 \Rightarrow$ pas d'erreur

Annexe 1 :



GS Oxygen Sensors KE-Series

Features:

- Long life - 2.5~10 years in ambient air
- Virtually no influence from CO₂, CO, H₂S, NO_x, H₂
- Low cost
- Operates in normal ambient temperatures
- Stable output signal
- No external power supply required for sensor operation
- No warmup time is required

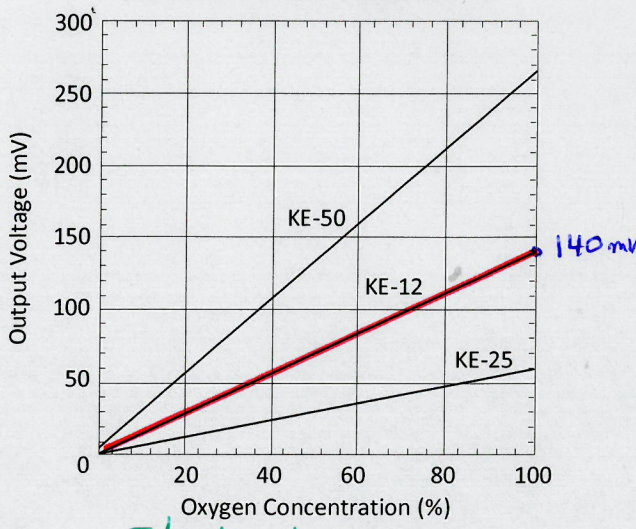
Applications:

- Medical - Anesthetic instruments, respirators, oxygen-enrichers
- Biotechnology - Oxygen incubators
- Food industry - Refrigeration, greenhouses
- Safety - Air conditioners, oxygen detectors, fire detectors

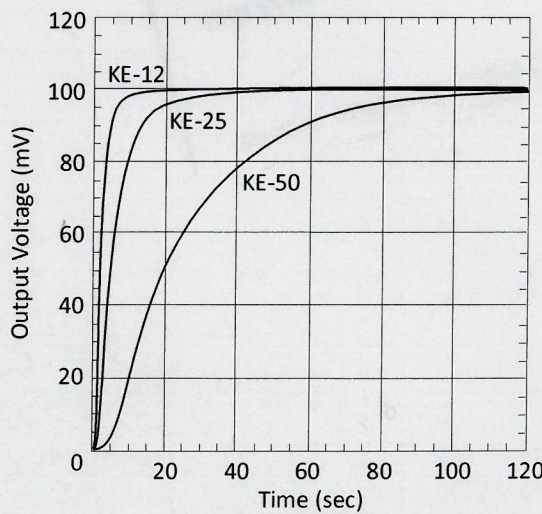
GS Oxygen Sensor KE Series (KE-12, KE-25, and KE-50) are unique galvanic cell type oxygen sensors developed in Japan in 1985. Their most notable features are long life expectancy, excellent chemical durability, and no influence by CO₂. KE Series oxygen sensors are ideal to meet the ever-increasing demand for oxygen monitoring in various fields such as combustion gas monitoring, the biochemical field, medical applications, domestic combustion appliances, etc.



Sensitivity characteristics
(typical values under std.test conditions)



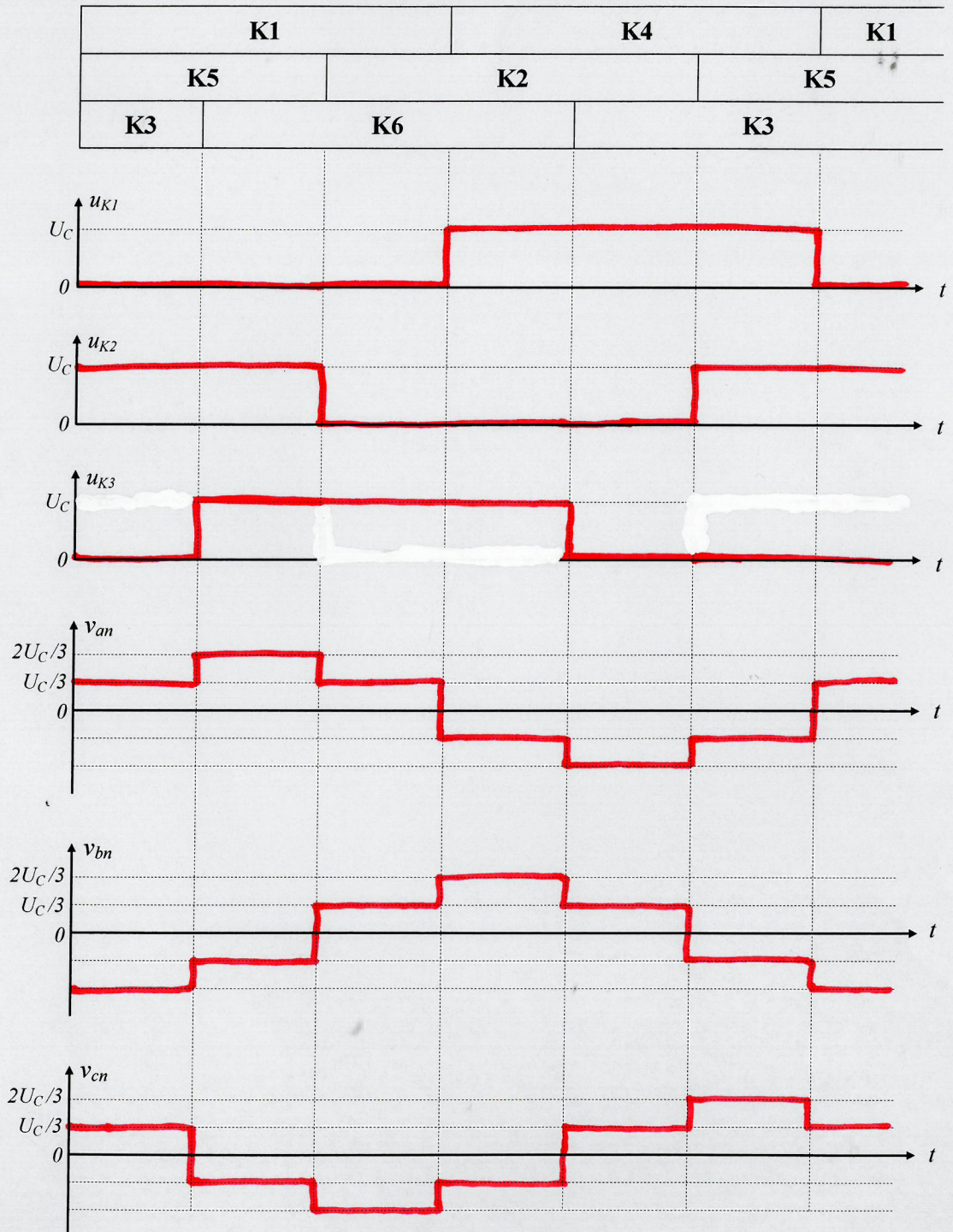
Response time (typical)



E tendue de mesure

Ne rien écrire dans ce cadre

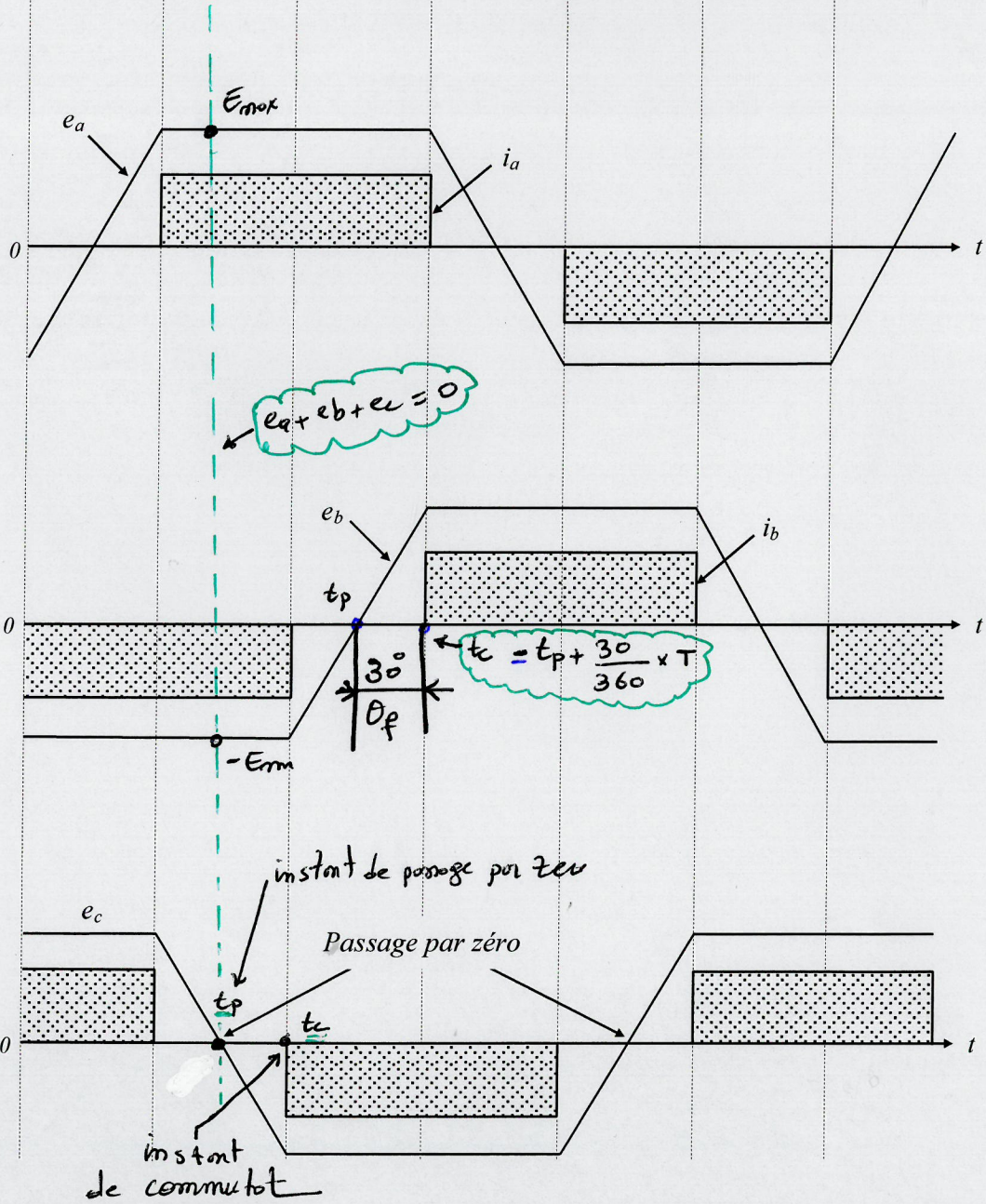
Document réponse N°1



Ne rien écrire dans ce cadre

Document réponse N°2

K₁	K₁	K₂	K₂
K₃	K₃	K₂	K₃



Partie C : Asservissement du débit d'air insufflé

La taille des poumons est moindre chez les enfants que chez les adultes, un asservissement du débit est donc nécessaire pour délivrer un volume courant adapté à l'âge et au poids de patient.

Le schéma bloc de cet asservissement est donné à la figure 11:

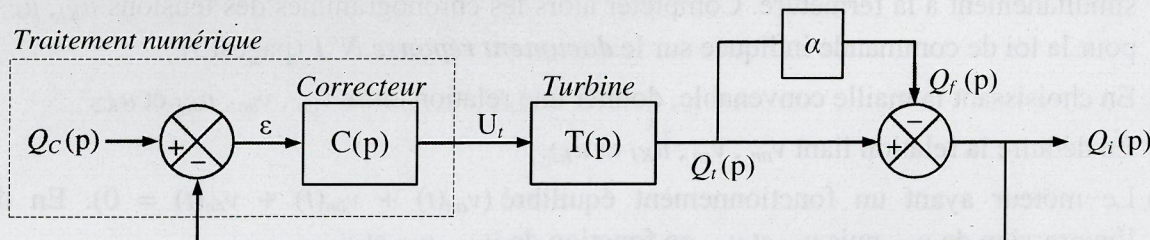


Figure 11 : Structure de l'asservissement du débit insufflé

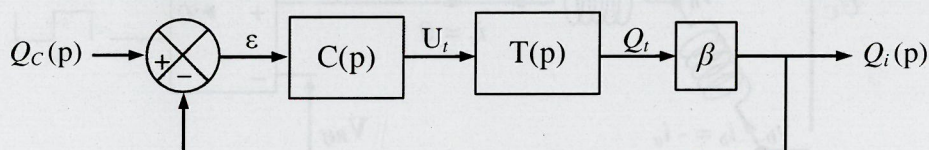
On note :

- Q_C , Q_t , Q_f et Q_i : respectivement le débit consigne, le débit turbiné, le débit de l'ensemble des fuites et le débit insufflé.
- α : coefficient modélisant le pourcentage des fuites dans la ligne d'inspiration. au-delà d'un seuil de 20%, la turbine ne compense plus ces fuites et une alarme est déclenchée.

Extrait de cahier des charges :

Critère	Niveau
Stabilité	Marge de phase : $MP \geq 45^\circ$
Précision	Ecart statique : $\varepsilon_S = 0$
Rapidité	Pulsation de coupure à 0dB de la FTBO : $\omega_C \geq 10 \text{ rad/s}$ pour $\alpha \leq 20\%$

C.1) En déterminant l'expression de β , Rendre le schéma bloc précédent sous la forme simplifiée :



Le modèle de comportement de la turbine est semblable à celui d'une machine à courant continu. On donne une simulation de sa réponse indicelle.

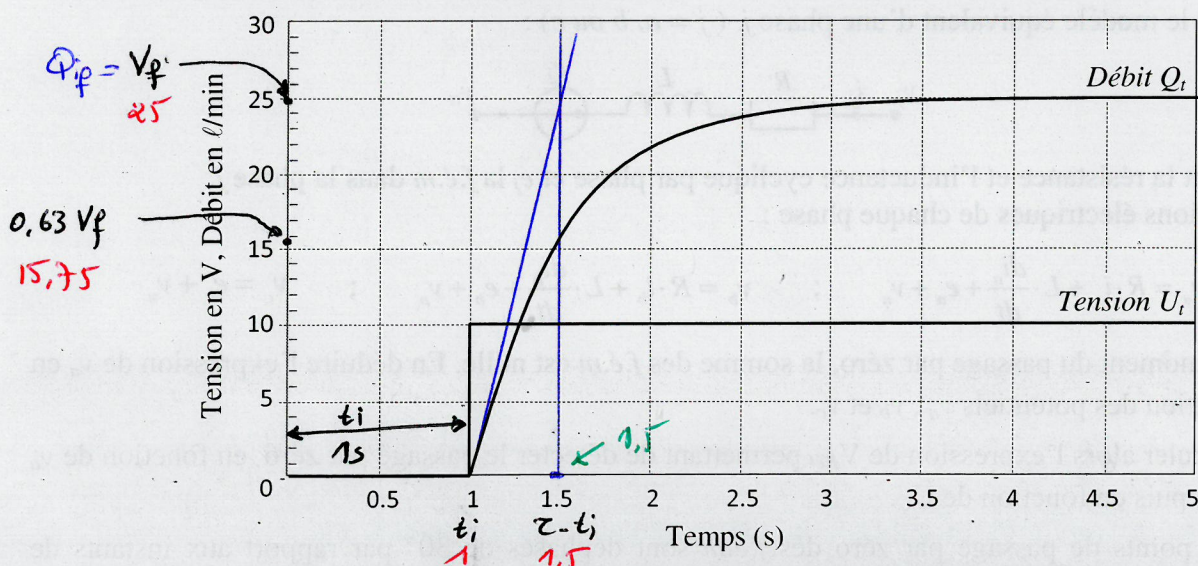


Figure 12 : Débit de la turbine en réponse à un échelon de tension

Ne rien écrire dans ce cadre

Document réponse N°3

